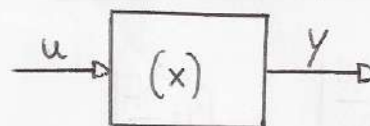


# AUTOMATICA

## → SISTEMA DINAMICO: MODELLO STANDARD



VEETTORE DI STATO  $\underline{x} = \begin{bmatrix} x_1 \\ x_2 \\ \vdots \\ x_n \end{bmatrix}$  dove  $x_1, x_2, \dots, x_n$  sono le VARIABILI DI STATO

EQUAZIONE DI STATO

EQUAZIONE DI USCITA

$$\begin{cases} \dot{x} = Ax + Bu \\ y = Cx + Du \end{cases}$$

MATRICE DINAMICA

MATRICE DEGLI INGRESSI

MATRICE DELLE USCITE

Dove  $u$  è l'INGRESSO

$y(\cdot)$ , l'andamento dell'uscita in un dato intervallo  $t_0 \rightarrow t$  dipende da  $u(\cdot)$  in  $t_0 \rightarrow t$  e dallo stato iniziale  $x(t_0)$ .

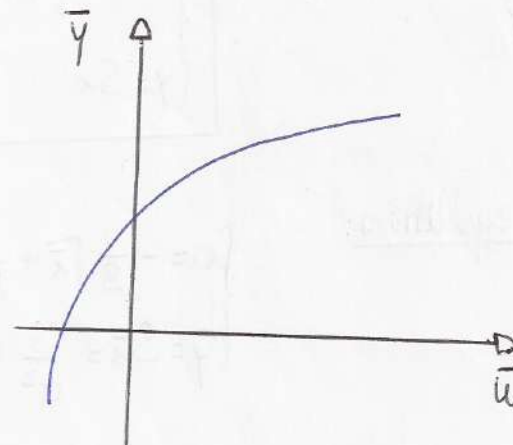
## → PUNTO DI EQUILIBRIO

$$\dot{x} = 0$$

Tutte le variabili sono costanti

$$\begin{cases} x(t) = \bar{x} \\ y(t) = \bar{y} \\ u(t) = \bar{u} \end{cases}$$

$$\begin{cases} \dot{x} = f(x, u) \\ y = g(x, u) \end{cases} \xrightarrow{\text{EQUILIBRIO}} \begin{cases} 0 = f(\bar{x}, \bar{u}) \rightarrow \bar{x} = h(\bar{u}) \\ \bar{y} = g(\bar{x}, \bar{u}) \rightarrow \bar{y} = g(h(\bar{u}), \bar{u}) \end{cases}$$



CARATTERISTICA STATICA: curva che descrive la relazione ingresso-uscita all'equilibrio

## → LINEARIZZAZIONE (\*)

Dato un sistema lineare e un suo punto di equilibrio  $(\bar{u}, \bar{x}, \bar{y})$  possiamo supporre che le variabili oscillino poco attorno al punto di equilibrio e, dunque, linearizzare il sistema attorno al punto stesso.

$$\begin{cases} 0 = f(\bar{x}, \bar{u}) \\ \bar{y} = g(\bar{x}, \bar{u}) \end{cases}$$

$$\dot{\Delta x} = A \Delta x + B \Delta u$$

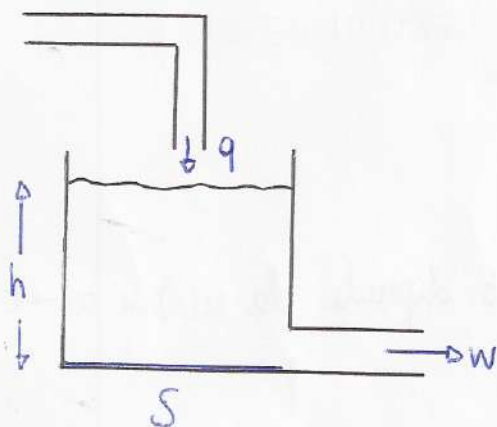
$$\Delta y = C \Delta x + D \Delta u$$

$$A = \left. \frac{\partial F}{\partial x} \right|_{\substack{x=\bar{x} \\ u=\bar{u}}} \quad B = \left. \frac{\partial F}{\partial u} \right|_{\substack{x=\bar{x} \\ u=\bar{u}}}$$

$$C = \left. \frac{\partial g}{\partial x} \right|_{\substack{x=\bar{x} \\ u=\bar{u}}} \quad D = \left. \frac{\partial g}{\partial u} \right|_{\substack{x=\bar{x} \\ u=\bar{u}}}$$

→ Esercizio: Scrittura modello, punti di equilibrio, linearizzazione

Variazione di volume del liquido in un serbatoio



$$\Delta V = S \Delta h = q \Delta t - w \Delta t = q \Delta t - \alpha \sqrt{h} \Delta t$$

$$S \frac{\Delta h}{\Delta t} = q - \alpha \sqrt{h}$$

↓  $\lim_{\Delta t \rightarrow 0}$

$$\dot{h} = -\alpha \sqrt{h} + q$$

$$\begin{cases} q = u & \text{CAUSA} \\ h = x & \text{STATO} \\ V = y & \text{USCITA} \end{cases}$$

$$\begin{cases} \dot{x} = -\frac{\alpha}{S} \sqrt{x} + \frac{1}{S} u \\ y = Sx \end{cases}$$

Sistema dinamico

All'equilibrio:

$$\begin{cases} 0 = -\frac{\alpha}{S} \sqrt{\bar{x}} + \frac{1}{S} \bar{u} \rightarrow \bar{x} = \frac{1}{\alpha^2} \bar{u}^2 \\ \bar{y} = S \bar{x} = \frac{S}{\alpha^2} \bar{u}^2 \end{cases}$$

Linearizzazione

$$A = \left. \frac{\partial F}{\partial x} \right|_{\substack{x=\bar{x} \\ u=\bar{u}}} = -\frac{\alpha}{S} \cdot \frac{1}{2\sqrt{\bar{x}}} = -\frac{\alpha}{S} \cdot \frac{\alpha}{2\bar{u}} = -\frac{\alpha^2}{2S\bar{u}}$$

$$B = \left. \frac{\partial F}{\partial u} \right|_{\substack{x=\bar{x} \\ u=\bar{u}}} = \frac{1}{S}$$

$$C = \left. \frac{\partial g}{\partial x} \right|_{\substack{x=\bar{x} \\ u=\bar{u}}} = S \quad D = 0$$

$$\begin{cases} \dot{\Delta x} = -\frac{\alpha^2}{2S} \cdot \frac{1}{\bar{u}} \Delta x + \frac{1}{S} \Delta u \\ \Delta y = S \Delta x \end{cases}$$



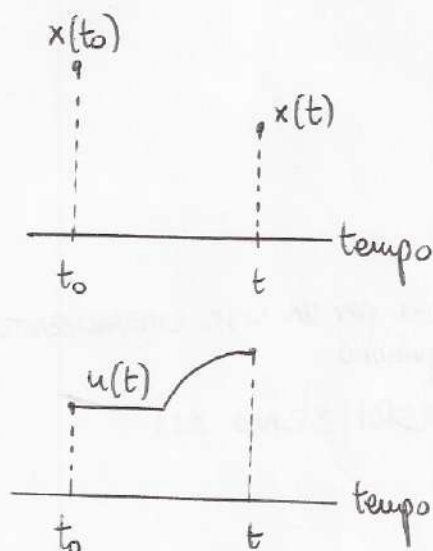
## → STUDIO DEI SISTEMI LINEARI

$$\begin{cases} \dot{x} = Ax + Bu \\ y = Cx + Du \end{cases}$$

Gli autovalori del sistema sono gli autovalori di  $A$

$$\det[sI - A] = s^n + \alpha_1 s^{n-1} + \alpha_2 s^{n-2} + \dots + \alpha_n = 0 \quad \text{Equazione caratteristica associata ad } A$$

Gli **AUTOVALORI** sono le soluzioni del polinomio caratteristico.



$x(t)$  dipende da

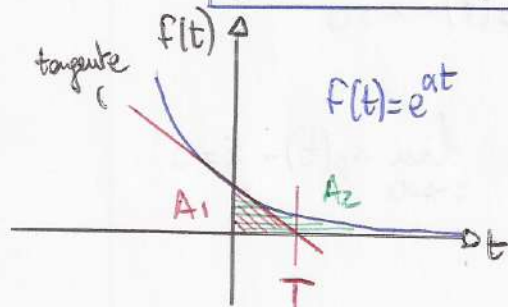
- $x(t_0)$
- $u(\cdot)$  in  $t_0 \rightarrow t$

Chiamiamo:

- **MOVIMENTO LIBERO**  $x_L(\cdot)$  la soluzione dell'equazione di stato tra  $t_0$  e  $t$  quando  $u(\cdot) = 0$
- **MOVIMENTO FORZATO**  $x_F(\cdot)$  la soluzione dell'equazione di stato tra  $t_0$  e  $t$  quando  $x(t_0) = 0$

L'**ESPONENZIALE** è soluzione di un sistema lineare senza forzante

$$\dot{x} = Ax \rightarrow x_L(t) = e^{A(t-t_0)} x(t_0)$$



**Sviluppo in serie:**  $f(t) = e^{at}$  e  $\bar{t} = 0$

$$f(t) = 1 + at + \frac{1}{2!} a^2 t^2 + \frac{1}{3!} a^3 t^3 + \frac{1}{4!} a^4 t^4 + \dots$$

**ESPONENZIALE DI UNA MATRICE:**

$$e^{At} = I + At + \frac{1}{2!} A^2 t^2 + \frac{1}{3!} A^3 t^3 + \dots$$

$T$  è chiamata **COSTANTE DI TEMPO**;  $A_1 = \frac{1}{2} A_2$

**MOVIMENTO FORZATO:**

$$x_F(t) = \int_{t_0}^t e^{A(t-\tau)} B u(\tau) d\tau$$

→ **FORMULA DI LAGRANGE:**

$$x(t) = e^{A(t-t_0)} x(t_0) + \int_{t_0}^t e^{A(t-\tau)} B u(\tau) d\tau \quad *$$

## → STABILITÀ

Parliamo di **MOVIMENTO PERTURBATO** per intendere l'andamento del sistema quando perturbiamo lo stato iniziale ma manteniamo la  $u$  uguale.

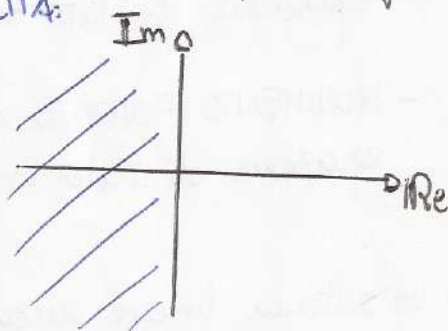
$$x_p(t) = e^{A(t-t_0)} x_p(t_0) + \int_{t_0}^t e^{A(t-\tau)} B u(\tau) d\tau$$

SISTEMA STABILE:  $e^{A(t-t_0)} (x_p(t_0) - x(t_0)) \rightarrow 0$

$$\forall x_p(t_0) - x(t_0)$$

Per un SIST. LINEARE Se:  $\text{Re} \{ \lambda_i[A] \} < 0$  → Vale anche per un SIST. LINEARIZZATO attorno al p. equilibrio

La discrepanza tende a zero quando gli **AUTOVALORI** stanno nel **SEMIPIANO DI STABILITÀ**:



Un punto di equilibrio si dice **STABILE** se:  $\lim_{t \rightarrow \infty} x_p(t) - \bar{x} = 0$

// **STABILE IN GRANDE** (ASINTOTICAMENTE STABILE) se:  $\lim_{t \rightarrow \infty} x_p(t) - \bar{x} = 0$

**CONDIZIONE DI STODOLA**:  
(solo necessaria)

$$\text{Sia } \det(sI - A) = \alpha_0 s^n + \alpha_1 s^{n-1} + \dots + \alpha_n = 0$$

termini di secondo grado!

$\alpha_0, \alpha_1, \dots, \alpha_n$  devono avere lo **STESSO SEGNO**

**CRITERIO DI ROUTH-HURWITZ**  
(necessaria e sufficiente)

$$\text{Sia } \det(sI - A) = \alpha_0 s^n + \alpha_1 s^{n-1} + \dots + \alpha_n = 0$$

$$\begin{bmatrix} \alpha_0 & \alpha_2 & \alpha_4 & \dots \\ \alpha_1 & \alpha_3 & \alpha_5 & \dots \\ h_1 & h_2 & h_3 & \dots \\ k_1 & k_2 & k_3 & \dots \end{bmatrix}$$

$$\text{Dove } h_1 = -\frac{1}{\alpha_1} \det \begin{bmatrix} \alpha_0 & \alpha_2 \\ \alpha_1 & \alpha_3 \end{bmatrix}$$

$$k_2 = -\frac{1}{h_1} \det \begin{bmatrix} \alpha_1 & \alpha_3 \\ \alpha_2 & \alpha_4 \end{bmatrix}$$

$$h_2 = -\frac{1}{\alpha_4} \det \begin{bmatrix} \alpha_0 & \alpha_2 \\ \alpha_1 & \alpha_3 \end{bmatrix}$$

$$k_1 = -\frac{1}{h_1} \det \begin{bmatrix} \alpha_1 & \alpha_3 \\ h_1 & h_2 \end{bmatrix}$$

TUTTI DELLO STESSO SEGNO





## → TRASFORMATA DI LAPLACE \*

Si passa dal dominio del tempo al dominio della variabile complessa

$$f(t) \longleftrightarrow F(s)$$

$$F(s) = \mathcal{L}[f(t)] \quad \text{TRASFORMATA DI LAPLACE}$$

$$f(t) = \mathcal{L}^{-1}[F(s)]$$

$$F(s) = \int_0^{+\infty} e^{-st} f(t) dt$$

### Trasformata dell'impulso

$$\text{imp}(t) = \lim_{\varepsilon \rightarrow 0} f(t) \longrightarrow F(s) = 1$$

### Trasformata dello scalino

$$f(t) = \text{sca}(t) \longrightarrow F(s) = \frac{1}{s}$$

### Trasformata della rampa

$$\text{ramp}(t) = \begin{cases} t & t \geq 0 \\ 0 & t < 0 \end{cases}$$

$$\overbrace{\text{ramp}(t)}^{g(t)} = t \cdot \overbrace{\text{sca}(t)}^{f(t)}$$

$$G(s) = - \frac{dF(s)}{ds} = \frac{1}{s^2}$$

### Altre funzioni

$$e^{at} \xrightarrow{\mathcal{L}} \frac{1}{s-a}$$

$$\cos at \xrightarrow{\mathcal{L}} \frac{s}{s^2 + a^2}$$

$$F(s) = \mathcal{L}[f(t)] = \frac{N(s)}{D(s)} \begin{cases} \text{ZERI: } N(s)=0 \\ \text{POLI: } D(s)=0 \end{cases} \begin{matrix} [0] \\ [x] \end{matrix} \left. \begin{matrix} \text{DI UN} \\ \text{SEGNALE} \end{matrix} \right\}$$

### PROPRIETÀ

- Linearità:

$$f_1(t) \xrightarrow{\mathcal{L}} F_1(s)$$

$$f_2(t) \xrightarrow{\mathcal{L}} F_2(s)$$

$$f(t) = \alpha_1 f_1(t) + \alpha_2 f_2(t)$$

$$F(s) = \alpha_1 F_1(s) + \alpha_2 F_2(s)$$

- Traslazione in s:

$$f(t) \xrightarrow{\mathcal{L}} F(s)$$

$$g(t) = e^{at} f(t)$$

$$g(t) \xrightarrow{\mathcal{L}} G(s) = F(s-a)$$

- Derivata in s

$$f(t) \xrightarrow{\mathcal{L}} F(s)$$

$$g(t) = t f(t) \xrightarrow{\mathcal{L}} G(s) = - \frac{dF(s)}{ds}$$

- Derivata in t

$$f(t) \xrightarrow{\mathcal{L}} F(s)$$

$$g(t) = \frac{df(t)}{dt} \longrightarrow G(s) = sF(s) - f(0^+)$$

In generale Grado  $D(s) \geq$  grado  $N(s)$

Grado relativo = grado  $D(s)$  - grado  $N(s)$

→ ANTITRASFORMATA  $\mathcal{L}^{-1} F(s) \rightarrow f(t)$

Teorema valore iniziale:  $f(t) \xrightarrow{\mathcal{L}} F(s) \left[ \begin{matrix} Y(s) \\ Y(1) \end{matrix} \right]$

$$f(0^+) = \lim_{s \rightarrow \infty} s F(s)$$

$$\dot{y}(0) = \lim_{s \rightarrow \infty} s(s Y(s) - y(0))$$

Teorema valore finale:  $f(\infty) = \lim_{s \rightarrow 0} s F(s) \left[ \begin{matrix} Y(s) \\ Y(1) \end{matrix} \right]$  se  $\exists f(\infty)$  (poli nel semipiano sn)

→ FUNZIONE DI TRASFERIMENTO

Si applichi la  $\mathcal{L}$ -TRASF ad un sistema dinamico

$$\begin{cases} \dot{x} = Ax + Bu \\ y = Cx + Du \end{cases} \xrightarrow{\mathcal{L}} \begin{cases} X(s) = (sI - A)^{-1} B U(s) + (sI - A)^{-1} x(0^+) \\ Y(s) = C X(s) + D U(s) \end{cases}$$

$$G(s) = \left. \frac{Y(s)}{U(s)} \right|_{x(0)=0} = C(sI - A)^{-1} B + D$$

Le radici del denominatore di  $G(s)$  sono gli autovalori di  $A$ .

Guadagno di un sistema

$$\mu = CA^{-1}B + D = G(s)|_{s=0} \text{ è la pendenza della CARATTERISTICA STATICA}$$

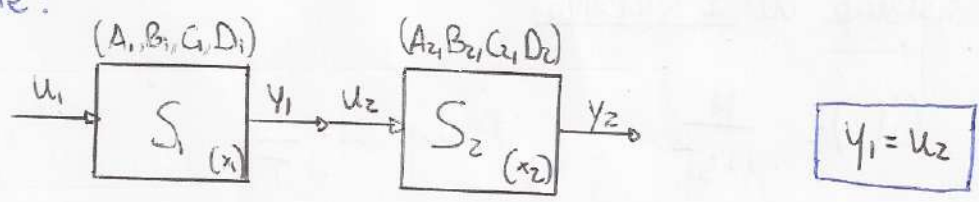
In generale:  $G(s) = \frac{N(s)}{D(s)}$

$$D(s) = \det(sI - A) \begin{cases} = 0 & \text{grado } N(s) < \text{grado } D(s) \text{ SISTEMA PROPRIO} \\ \neq 0 & \text{grado } N(s) = \text{grado } D(s) \text{ SISTEMA IMPROPRIO} \end{cases}$$

ZERI (o): radici  $N(s)$   
 POLI (x): radici  $D(s)$  } DI UN SISTEMA

# SISTEMI INTERCONNESSI

- Serie:



$$S_1 \begin{cases} \dot{x}_1 = A_1 x_1 + B_1 u_1 \\ y_1 = C_1 x_1 + D_1 u_1 \end{cases}$$

$$S_2 \begin{cases} \dot{x}_2 = A_2 x_2 + B_2 u_2 \\ y_2 = C_2 x_2 + D_2 u_2 \end{cases}$$

$$S = S_1 + S_2 \begin{cases} \dot{x}_1 = A_1 x_1 + B_1 u \\ \dot{x}_2 = A_2 x_2 + B_2 C_1 x_1 + B_2 D_1 u \\ y = C_2 x_2 + D_2 (C_1 x_1 + D_1 u) \end{cases}$$

S è asintoticamente stabile se lo sono sia S1 che S2

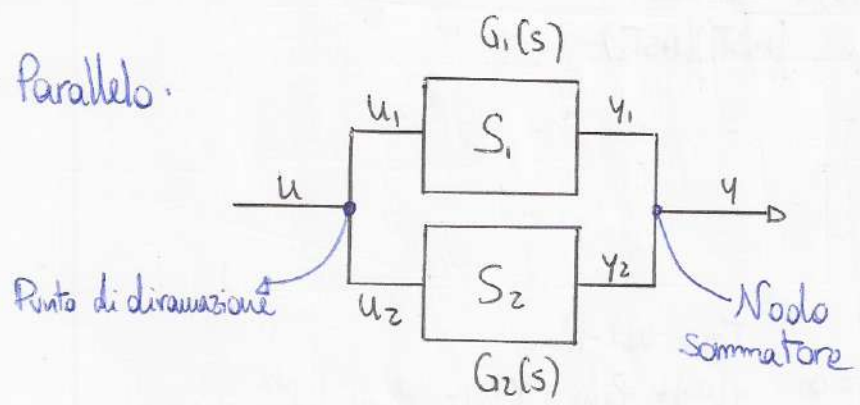
$$G(s) = G_1(s)G_2(s) = \frac{N_1(s)N_2(s)}{D_1(s)D_2(s)}$$

ZERI:  $N_1(s)N_2(s)=0$  riunione dei poli  
POLI:  $D_1(s)D_2(s)=0$  riunione degli zeri

$s=0$

$$M = M_1 M_2$$

- Parallelo:



$$\begin{cases} u_1(t) = u_2(t) = u(t) \\ y(t) = y_1(t) + y_2(t) \end{cases}$$

$$G(s) = G_1(s) + G_2(s) = \frac{N_1(s)D_2(s) + N_2(s)D_1(s)}{D_1(s)D_2(s)}$$

ZERI:  $N_1 D_2 + N_2 D_1 = 0$  zeri e poli sottosistemi  
POLI:  $D_1 D_2 = 0$  riunione dei poli

S è stabile se e solo se S1 e S2 sono stabili



## → Risposta impulsiva

Consideriamo un sistema del I ORDINE:

$$G(s) = \frac{M}{1+sT}$$

$$\text{Polo: } s = -\frac{1}{T}$$

Vogliamo trovare  $y(\cdot)$  quando  $u(t) = \text{imp}(t)$

$$\mathcal{L}[\text{imp}(t)] = 1 \Rightarrow U(s) = 1$$

$$Y(s) = G(s)U(s) = \frac{M}{1+sT} \rightarrow y(t) = ?$$

Teo. val. iniz.

$$y(0) = \lim_{s \rightarrow \infty} sY(s) = \lim_{s \rightarrow \infty} \frac{sM}{1+sT} = \frac{M}{T}$$

Teo. val. fin.

$$y(\infty) = \lim_{s \rightarrow 0} sY(s) = \lim_{s \rightarrow 0} \frac{sM}{1+sT} = 0$$

$$Y(s) = \frac{M}{1+sT} \xrightarrow{\mathcal{L}^{-1}} \boxed{y(t) = \frac{M}{T} e^{-t/T}}$$

Sistema II ORDINE:  $G(s) = \frac{M}{(1+sT_1)(1+sT_2)}$

$$u(t) = \text{imp}(t) \Rightarrow U(s) = 1$$

$$Y(s) = \frac{M}{(1+sT_1)(1+sT_2)}$$

Teo. val. iniz.

$$y(0) = \lim_{s \rightarrow \infty} sY(s) = \lim_{s \rightarrow \infty} \frac{Ms}{(1+sT_1)(1+sT_2)} = 0$$

Teo. val. fin.

$$y(\infty) = \lim_{s \rightarrow 0} sY(s) = \lim_{s \rightarrow 0} \frac{Ms}{(1+sT_1)(1+sT_2)} = 0$$

$$y(t) = \mathcal{L}^{-1}(Y(s)) = M \left[ \alpha e^{-t/T_1} + \beta e^{-t/T_2} \right]$$

$$\alpha = -\frac{1}{T_2 - T_1} \quad \beta = \frac{1}{T_2 - T_1}$$



## → Risposta a scalino

$$G(s) = \frac{M}{1+sT} \quad (\text{I ORDINE})$$

$$u(t) = \text{sca}(t) \rightarrow U(s) = \frac{1}{s}$$

$$Y(s) = G(s) \cdot U(s) = \frac{M}{1+sT} \cdot \frac{1}{s}$$

$$\text{Val. in: } y(0) = \lim_{s \rightarrow \infty} s Y(s) = \lim_{s \rightarrow \infty} \frac{1}{s} \frac{M}{1+sT} \cdot s = 0$$

$$\text{Val. fin: } y(\infty) = \lim_{s \rightarrow 0} s Y(s) = \lim_{s \rightarrow 0} \frac{M}{1+sT} = M$$

$$\frac{M}{1+sT} \cdot \frac{1}{s} = \frac{k_1}{s} + \frac{k_2}{1+sT} \xrightarrow{\mathcal{L}^{-1}} k_2 e^{-t/T} = \frac{k_1(1+sT) + k_2 s}{s(1+sT)} = \frac{s(k_1 T + k_2) + k_1}{s(1+sT)} \quad \begin{matrix} k_2 = -\mu T \\ k_1 = \mu \end{matrix}$$

$\mathcal{L}^{-1} \downarrow$   
 $k_1 \text{sca}(t)$

$$\boxed{Y(s) = \frac{M}{s} - \frac{\mu T}{1+sT}} \xrightarrow{\mathcal{L}^{-1}} y(t) = \mu \text{sca}(t) - \mu T e^{-t/T}$$

## esercizio Laplace e risposta a scalino \*

$$\begin{cases} \dot{x} = -2x + 2u \\ y = x \end{cases}$$

$$x(0) = 5$$

$$u(t) = \text{sca}(t) = \begin{cases} 2 & t \geq 0 \\ 0 & t < 0 \end{cases}$$

$$\boxed{y(\cdot) = ?}$$

Applichiamo la  $\mathcal{L}$ -TRASF:

$$sX(s) - x(0) = -2X(s) + 2U(s)$$

$$X(s)[s+2] = 5 + 2U(s)$$

$$\begin{cases} Y(s) = X(s) \end{cases}$$

$$X(s) = \frac{5}{s+2} + \frac{2}{s+2} U(s) = \frac{5}{s+2} + \frac{2}{s+2} \cdot \frac{2}{s} = Y(s)$$

$$Y(s) \xrightarrow{\mathcal{L}^{-1}}$$

$$y(t) = 5e^{-2t} \text{sca}(t) + 2e^{-2t} \text{sca}(t) - 2 \text{sca}(t)$$

$$5e^{-2t} \text{sca}(t) + 2e^{-2t} \text{sca}(t) - 2 \text{sca}(t)$$

$$\tau = \frac{1}{2} \rightarrow \text{a regime in } 5\tau \text{ (2,5s)}$$

## Esercizio Funzione di Trasferimento

$$G(s) = \mu \frac{(1+s\tau)}{(1+sT_1)(1+sT_2)}$$

$$T_2 < T_1 \quad \begin{cases} S_1 = -\frac{1}{T_1} \\ S_2 = -\frac{1}{T_2} \end{cases}$$

$$S_3 = -\frac{1}{\tau} \quad U(s) = \frac{U}{s}$$

Valore iniziale

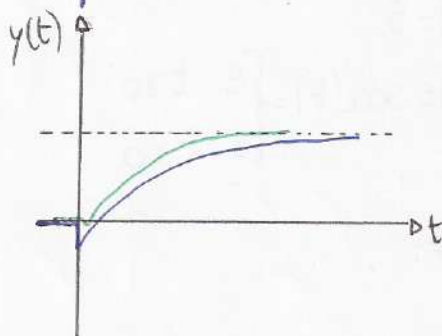
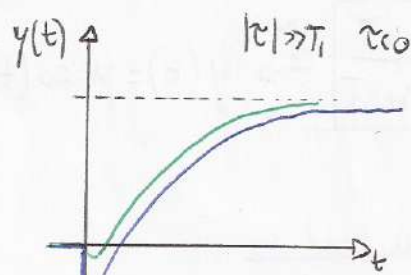
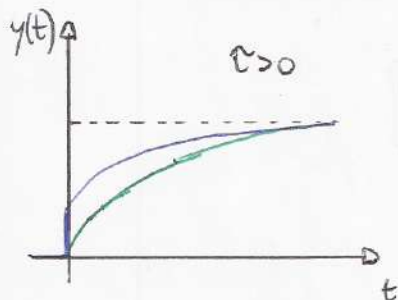
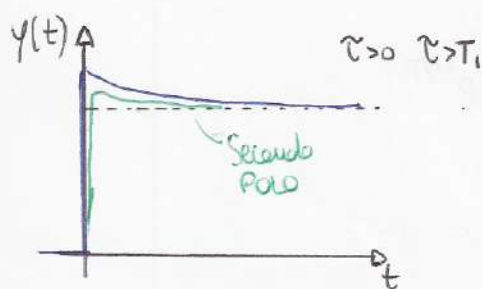
$$y(0) = \lim_{s \rightarrow \infty} s \mu \frac{(1+s\tau)}{(1+sT_1)(1+sT_2)} \cdot \frac{U}{s} = 0$$

Derivata nell'origine

$$\dot{y}(0) = \lim_{s \rightarrow \infty} s^2 \mu \frac{(1+s\tau)}{(1+sT_1)(1+sT_2)} \cdot \frac{U}{s} = \frac{\mu U \tau}{T_1 T_2}$$

Valore finale

$$y(\infty) = \lim_{s \rightarrow 0} s \cdot G(s) U(s) = \mu U$$



Il secondo polo addolcisce le risposte polo-zero perché fa filtraggio passabasso

Ricavo  $y(t)$

$$Y(s) = \mu U \left[ \frac{A}{1+sT_1} + \frac{B}{1+sT_2} + \frac{C}{s} \right]$$

$$As + As^2 T_2 + Bs + Bs^2 T_1 + C + C(T_1 + T_2)s + Cs^2 T_1 T_2 \equiv 1 + s\tau$$

$$A = \frac{(\tau - T_1)T_1}{(T_1 - T_2)}$$

$$B = \frac{(T_2 - \tau)T_2}{T_1 - T_2}$$

$$Y(s) = \mu U \left[ \frac{(\tau - T_1)T_1}{T_1 - T_2} \cdot \frac{1}{s + \frac{1}{T_1}} + \frac{(T_2 - \tau)T_2}{T_1 - T_2} \cdot \frac{1}{s + \frac{1}{T_2}} + \frac{1}{s} \right]$$



$$y(t) = \mu U \left[ 1 + \frac{(\tau - T_1)}{T_1 - T_2} e^{-t/T_1} - \frac{\tau - T_2}{T_1 - T_2} e^{-t/T_2} \right] sca(t)$$

Se ad esempio:

$$\tau = 10s$$

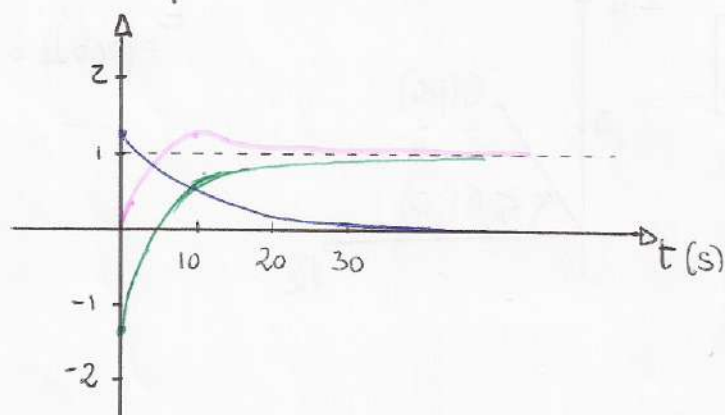
$$T_1 = 5s$$

$$T_2 = 1s$$

$$\mu U = 1$$

$$y(t) = \left( \underbrace{1 + \frac{5}{4} e^{-t/5}}_{\text{lento}} - \underbrace{\frac{9}{4} e^{-t}}_{\text{veloce}} \right) sca(t)$$

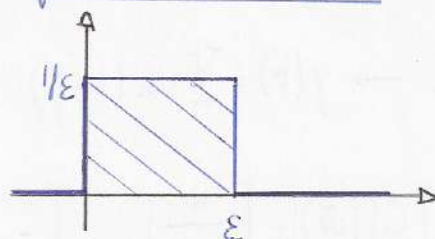
Tempo di assestamento



esercizio: la risposta all'impulso e la derivata della risposta allo scalino

$$\begin{cases} \dot{x} = -2x + 2u \\ y = x \end{cases} \quad x(\cdot) = 0$$

$$u(t) = \begin{cases} 1/\varepsilon & 0 < t < \varepsilon \\ 0 & t < 0 \vee t > \varepsilon \end{cases}$$



$$x(t) = \int_0^t e^{-2(t-\tau)} \cdot 2 \frac{1}{\varepsilon} d\tau = 2 \frac{1}{\varepsilon} e^{-2t} \int_0^t e^{2\tau} d\tau = \frac{1}{\varepsilon} e^{-2t} \left[ \frac{e^{2\tau}}{2} \right]_0^t = (1 - e^{-2\varepsilon}) \frac{1}{\varepsilon} \quad 0 < t < \varepsilon$$

Riducendo sempre di più il valore di  $\varepsilon$  ( $t > \varepsilon$ :  $x(t) = \frac{1}{\varepsilon} (1 - e^{-2\varepsilon}) e^{-2t}$ )

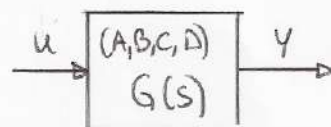
$$\lim_{\varepsilon \rightarrow 0} \frac{1}{\varepsilon} (1 - e^{-2\varepsilon}) e^{-2t} = \left( \frac{0}{0} \right) \stackrel{H}{=} \lim_{\varepsilon \rightarrow 0} \frac{-e^{-2t} (e^{-2\varepsilon}) (-2)}{1} = 2e^{-2t}$$

$$x(t) = 2e^{-2t}$$

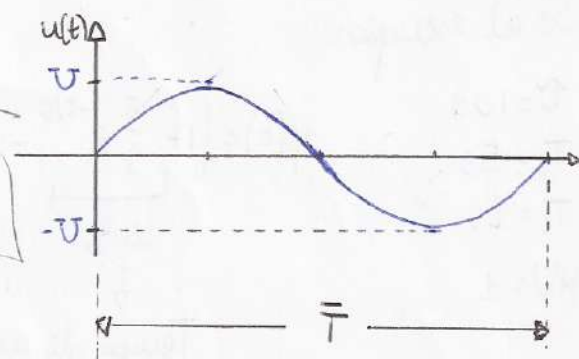
$$\begin{aligned} x(t) &= (1 - e^{-2t}) sca(t) \xrightarrow{d} \frac{dx(t)}{dt} = \frac{d}{dt} (sca(t) - e^{-2t} sca(t)) = imp(t) - e^{-2t} \cdot (-2) sca(t) - e^{-2t} \cdot imp(t) = \\ &= (1 + e^{-2t}) imp(t) + 2e^{-2t} sca(t) \end{aligned}$$

In  $t=0$  si applica l'impulso:  
 $\frac{dx(t)}{dt} = 2e^{-2t} sca(t)$

→ Risposta sinusoidale \*



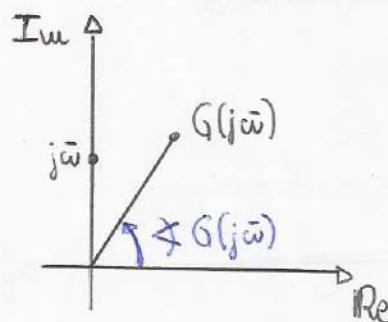
$$u(t) = U \sin(\bar{\omega}t) \rightarrow y(t) = \underbrace{Y}_{\text{ampiezza}} \sin(\bar{\omega}t + \underbrace{\beta}_{\text{fase}})$$



$$\bar{T} = \text{periodo} = \frac{1}{f} \quad \boxed{\bar{\omega} = 2\pi f}$$

AMPIEZZA:  $\boxed{Y = |G(j\bar{\omega})| U}$

FASE:  $\boxed{\beta = \angle G(j\bar{\omega})}$



esempio

$$G(s) = \frac{100}{1+s} \quad u(t) = 5 \sin(t)$$

$$\bar{\omega} = 1 \rightarrow y(t) = Y \sin(t + \beta)$$

$$Y = |G(j\bar{\omega})| = \left| \frac{100}{1+s} \right|_{s=j\bar{\omega}} = \left| \frac{100}{1+j\bar{\omega}} \right| = \frac{100}{\sqrt{1+\bar{\omega}^2}} = \frac{100}{\sqrt{2}}$$

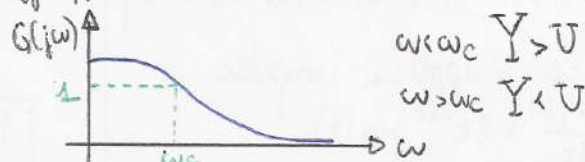
$$\beta = \angle G(j1) = \angle \frac{100}{1+j1} = \angle 100 - \angle(1+j1) = 0 - 45^\circ$$

Considerando invece  $u(t) = 5 \sin(\omega(t))$  vogliamo trovare come cambia  $y(\cdot)$  al variare di  $\omega$ .

$$G(j\omega) = \frac{100}{(1+j\omega)} \quad \text{Per } \omega=0 \quad G=100$$

→ Al crescere di  $\omega$  il denominatore cresce in modo monotono  $\rightarrow \infty$

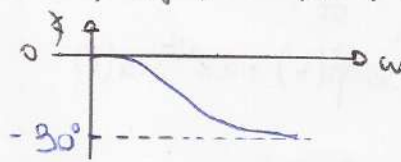
$|G(j\omega)|$  è MONOTONO DECRESCENTE



$$\omega < \omega_c \quad Y > U$$

$$\omega > \omega_c \quad Y < U$$

$$\angle G(j\omega) = -\angle(1+j\omega)$$



per  $\omega$  crescente passa da  $0^\circ$  a  $-90^\circ$



# → Rappresentazioni della risposta in frequenza



## DIAGRAMMI DI BODE DEL MODULO

$$G(s) = \frac{M(1+s\tau_1)(1+s\tau_2)\dots}{(1+sT_1)(1+sT_2)\dots}$$

ASCISSE: scala in decadi  $x = \Delta \log_{10} \omega$

ORDINATE:  $|G(j\omega)|_{dB} = 20 \log_{10} |G(j\omega)|$

- 1) Si disegnano le pulsazioni di taglio ( $\omega_i$ )
- 2) In corrispondenza di una  $\omega_i$  associata ad un polo di molteplicità  $K$  la pendenza SCENDE di  $-20K$  dB/decade
- 3) In corrispondenza di una  $\omega_i$  associata ad uno ZERO di molteplicità  $K$  la pendenza SALE di  $+20K$  dB/decade
- 4) Nel caso di POLI/ZERI nell'origine si considera una  $G'(s) = \frac{M}{S} (= \frac{S}{M})$  e, trascurando le alte frequenze, si individua un punto da cui iniziare a tracciare la pendenza data da Polo/ZERO

esempio (diagramma asintotico)

$$G(s) = \frac{10}{s} \cdot \frac{(1+s)}{(1+s \cdot 0,01)}$$

$$\omega_{p1} = 0 \text{ rad/s} \quad \omega_{p2} = \frac{1}{0,01} = 100 \text{ rad/s} \quad \omega_z = 1 \text{ rad/s}$$

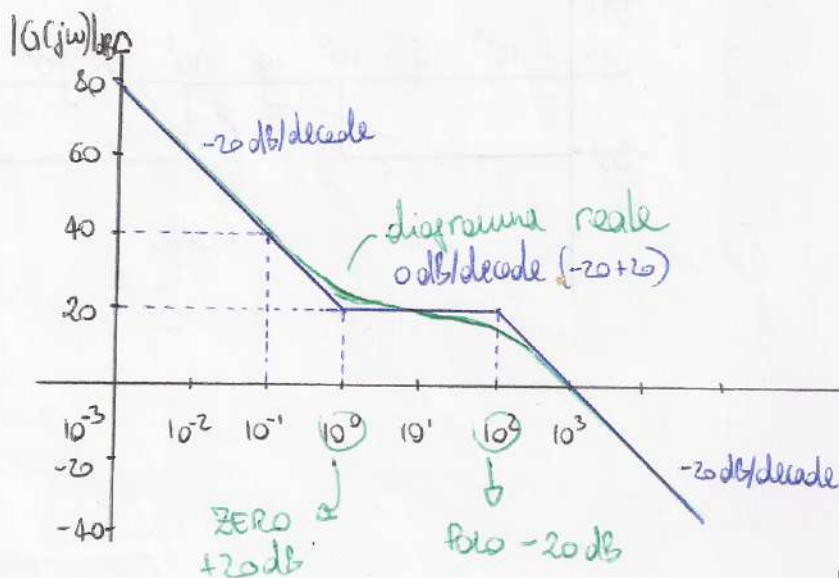
$$|G(j\omega)|_{\omega=0} = \infty$$

$$\text{Consideriamo } G'(s) = \frac{10}{s}$$

(trascuriamo le alte frequenze) e il punto  $\omega = 1$

$$|G'(j\omega)|_{\omega=1} = 10 \Rightarrow 20 \text{ dB}$$

$\omega_{p1} = 0 \text{ rad/s} \rightarrow$  Nell'origine pendenza  $-20 \text{ dB/decade}$



## DIAGRAMMI DI BODE DELLA FASE

$$G(s) = \frac{N(1 \pm sT_1)(1 \pm sT_2) \dots}{(1 \pm sT_1)(1 \pm sT_2) \dots} \quad *$$

ASCISSE: scala in decadi  $x = \Delta \log_{10} \omega$

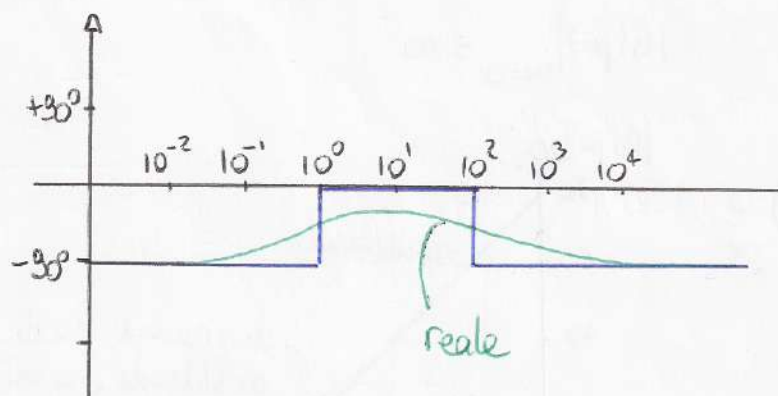
ORDINATE:  $\angle G(j\omega)$

Se p.c.o. affingere sfasamento di  $\pm 180^\circ$  ( $-180^\circ$  se dobbiamo usare il criterio di Bode)

- 1) Si disegnano le PULSAZIONI DI TAGLIO  $\omega_i$
- 2) In corrispondenza di una  $\omega_i$  associata ad un Polo STABILE  $(1 + sT_i)$  (semipiano su) di molteplicità  $k$ , la FASE SCENDE di  $-k90^\circ$
- 2b) In corrispondenza di una  $\omega_i$  associata ad un Polo INSTABILE  $(1 - sT_i)$  (semipiano dx) di molteplicità  $k$ , la FASE SALE di  $+k90^\circ$
- 3) In corrispondenza di una  $\omega_i$  associata ad uno ZERO STABILE  $(1 + sT_i)$  (semipiano sn) di molteplicità  $k$ , la FASE SALE di  $+k90^\circ$
- 3b) In corrispondenza di una  $\omega_i$  associata ad uno ZERO INSTABILE  $(1 - sT_i)$  (semipiano dx) di molteplicità  $k$ , la FASE SCENDE di  $-k90^\circ$
- 4) Se si ha un Polo o uno ZERO nell'origine la fase parte già con uno sfasamento di  $\pm k90^\circ$

esempio

$$G(s) = \frac{10}{s} \cdot \frac{(1+s)}{(1+s \cdot 0.01)}$$





# DIAGRAMMI POLARI E DI NYQUIST



$$\{G(j\omega)\} \text{ per } \omega \text{ da } 0 \text{ a } +\infty$$

Diagramma polare

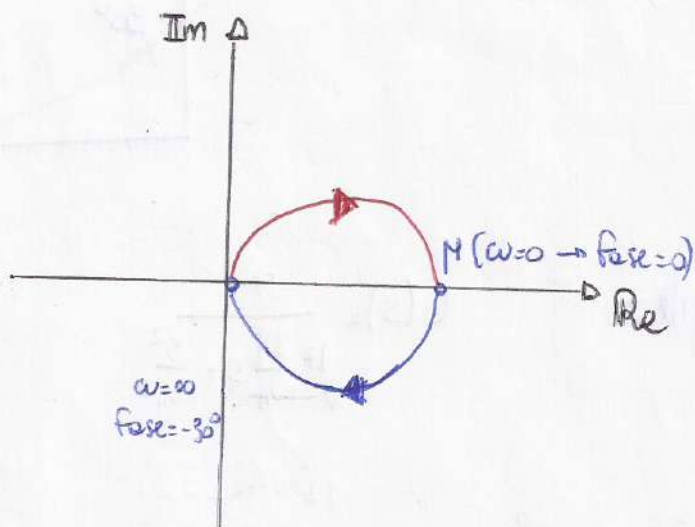
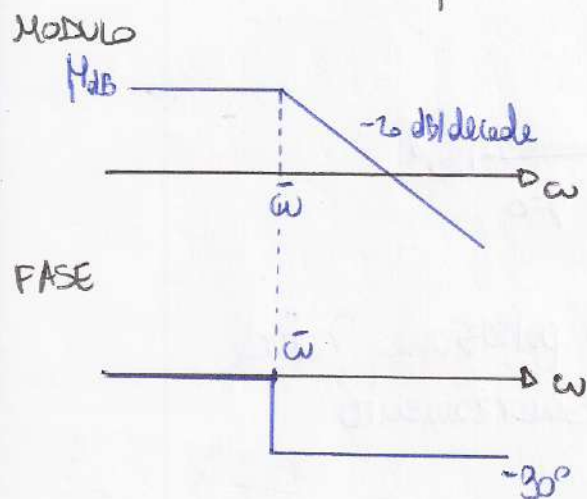
Il diagramma polare è l'immagine dell'asse immaginario positivo attraverso la  $G(j\omega)$

Il diagramma di Nyquist è l'unione del diagramma polare col suo simmetrico rispetto all'asse delle ascisse

esempio

$$G(s) = \frac{N}{1+sT} \quad N > 0, T > 0$$

$$\bar{\omega} = \frac{1}{T}$$



Per i diagrammi polari possiamo scrivere la FUNZIONE DI TRASFERIMENTO COME:

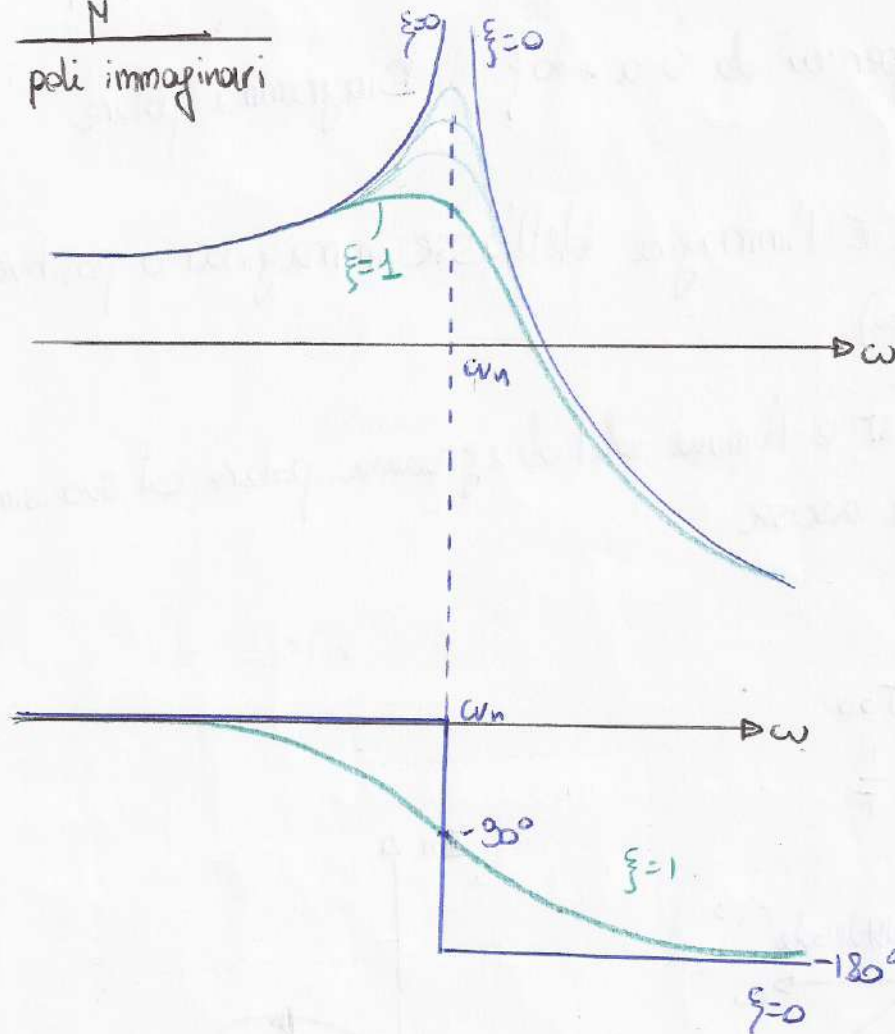
$$G(s) = p \frac{(s-z_1)(s-z_2)\dots}{(s-p_1)(s-p_2)\dots}$$

Quando abbiamo un polo sull'asse immaginario consideriamo un percorso deviato lungo una circonferenza di raggio infinitesimo.

# Poli immaginari e complessi coniugati

$$G(s) = \frac{M}{\text{poli immaginari}}$$

Fenomeno della  
RISONANZA



Poli complessi

$$G(s) = \frac{M}{1 + \frac{2\xi}{\omega_n} s + \frac{s^2}{\omega_n^2}}$$

$\omega_n$  = pulsazione naturale

$\xi$  = smorzamento

$$P_{1,2} = 1 + \frac{2\xi}{\omega_n} s + \frac{s^2}{\omega_n^2} = 0$$

$$1 + \frac{4}{3}s + \frac{s^2}{4}$$

$$\frac{2\xi}{\omega_n} = \frac{4}{3} \quad \frac{1}{\omega_n^2} = \frac{1}{4}$$

$$\omega_n = 2$$

$$\frac{2\xi}{2} = \frac{4}{3} \quad \xi = \frac{4}{3}$$

$$P_{1,2} = \left( -\xi \pm \sqrt{\xi^2 - 1} \right) \omega_n$$

I poli sono COMPLESSI CONIUGATI se  $0 < \xi < 1$

Nella risposta  
allo scalino:

$$y_{MAX} = M \left( 1 + e^{-\frac{\xi\pi}{1-\xi^2}} \right)$$

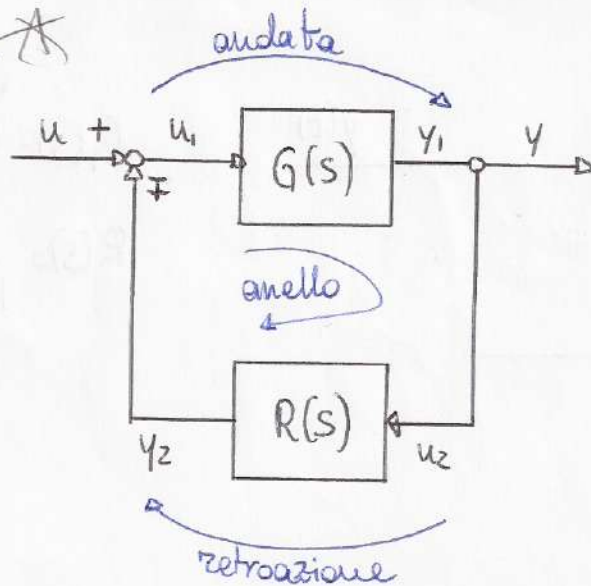
$$\bar{t} = \frac{\tau T}{\tau - T}$$



ANDREADDIT  
Appunti, esercizi, temi d'esame



# → Retroazione \*



RETROAZIONE NEGATIVA: 
$$Y(s) = Y_1(s) = G(s)U_1(s) = G(s)[U(s) - Y_2(s)] = G(s)U(s) - G(s)R(s)Y_2(s)$$

$$[1 + G(s)R(s)]Y(s) = G(s)U(s)$$

$$F(s) = \frac{G(s)}{1 + G(s)R(s)}$$

LINEA ANDATA

Funzione di trasferimento complessiva (anello chiuso)

ANELLO

$$L(s) = G(s)R(s)$$

Funzione di trasferimento ad anello (aperto)

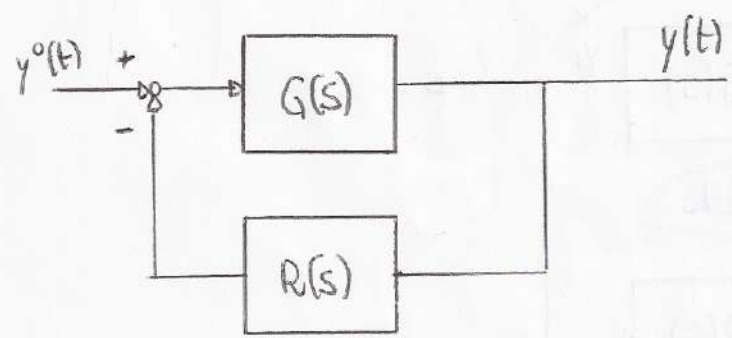
$$G(s) = \frac{N_1(s)}{D_1(s)} \quad R(s) = \frac{N_2(s)}{D_2(s)} \quad F(s) = \frac{N_1(s)}{D_1(s)} \cdot \frac{D_2(s)}{1 + \frac{N_1(s)N_2(s)}{D_1(s)D_2(s)}} = \frac{N_1(s)D_2(s)}{D_1(s)D_2(s) + N_1(s)N_2(s)}$$

POLI:  $D_1D_2 + N_1N_2 = 0$  (STABILIZZARE SISTEMA INSTABILE)

ZERI:  $N_1D_2 = 0$

RETROAZIONE POSITIVA 
$$F(s) = \frac{G(s)}{1 - G(s)R(s)}$$

esercizio retroazione



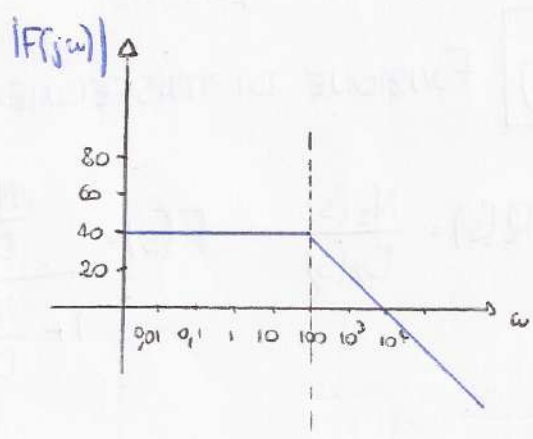
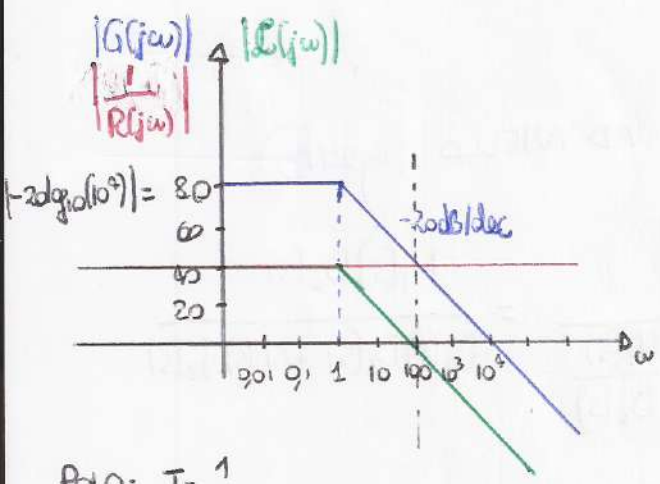
$G(s) = \frac{10^4}{1+s}$   
 $R(s) = \frac{1}{10^2}$

FdT da  $y^o(t)$  a  $y(t)$

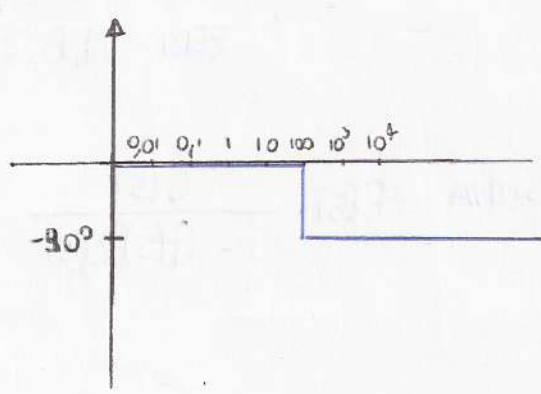
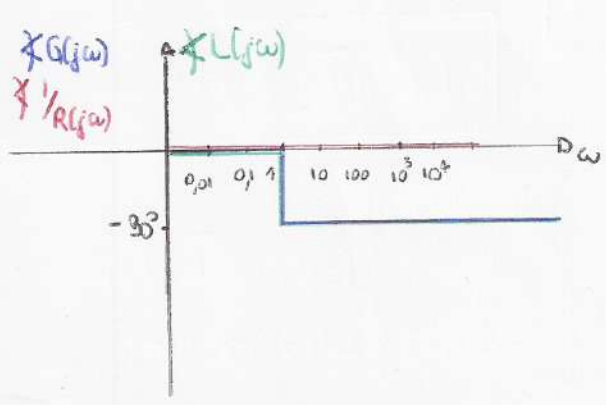
$$Y(s) = G(s) [Y^o(s) - R(s)Y(s)] = G(s)Y^o(s) - G(s)R(s)Y(s)$$

$$Y(s) = \frac{G(s)}{1 + G(s)R(s)} Y^o(s) \qquad L(s) = G(s)R(s) = \frac{10^2}{1+s}$$

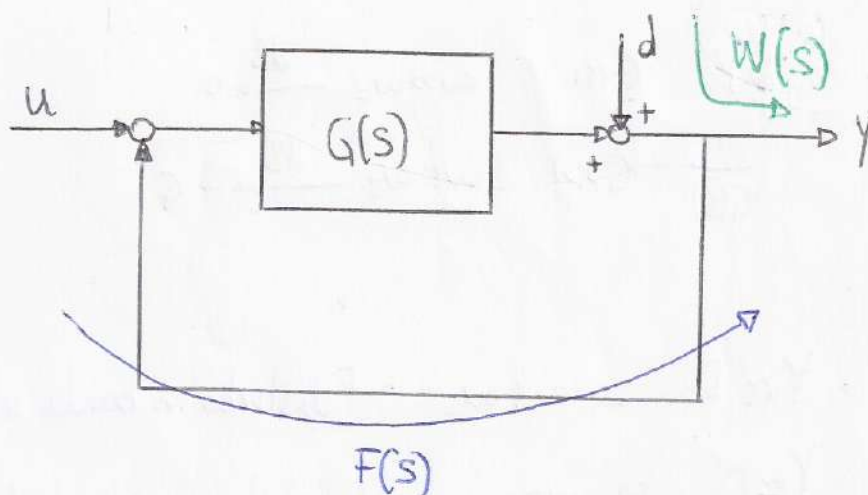
$$F(s) = \frac{R(s)}{R(s)} \cdot \frac{G(s)}{1 + G(s)R(s)} = \frac{1}{R(s)} \cdot \frac{L(s)}{1 + L(s)} \quad \begin{cases} |L(j\omega)|_{dB} > 0 \Rightarrow \hat{F}(s) = \frac{1}{R(s)} = 100 \\ |L(j\omega)| < 1 \Rightarrow \hat{F}(s) = \frac{L(s)}{R(s)} = G(s) \end{cases}$$



Polo:  $T = \frac{1}{1}$



# Risposta in frequenza di un sistema a retroazione



FdT da  $u$  a  $y$ : 
$$F(s) = \frac{\text{linea andata}}{1 + \text{Fdt anello}} = \frac{G(s)}{1 + G(s)}$$

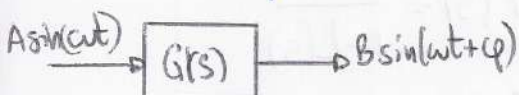
$$F(j\omega) = \frac{G(j\omega)}{1 + G(j\omega)} = \begin{cases} 1 & G \gg 1 \\ G(j\omega) & G \ll 1 \end{cases}$$

Andiamo dunque a vedere, tramite i diagrammi di Bode, quando  $G(j\omega) \geq 1$

$$G(j\omega) \geq 1 \Leftrightarrow |G(j\omega)|_{dB} \geq 0$$

$$G(j\omega) \leq 1 \Leftrightarrow |G(j\omega)|_{dB} \leq 0$$

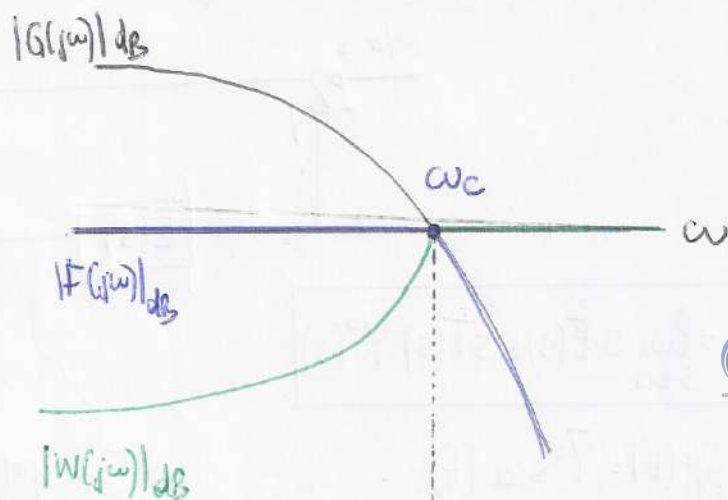
In anello aperto



$$\begin{cases} B > A & \text{se } \omega < \omega_c \\ B < A & \text{se } \omega > \omega_c \end{cases}$$

In anello chiuso

$$\begin{cases} B = A & \text{se } \omega < \omega_c \\ B < A & \text{se } \omega > \omega_c \end{cases}$$





FdT da  $d$  a  $y$

$$W(s) = \frac{1}{1+G(s)} = \begin{cases} 1 & G \ll 1 \\ \frac{1}{G(s)} & G \gg 1 \end{cases} \quad \begin{matrix} \omega \gg \omega_c \xrightarrow{dB} 0 \\ \omega \ll \omega_c \xrightarrow{dB} -G \end{matrix}$$

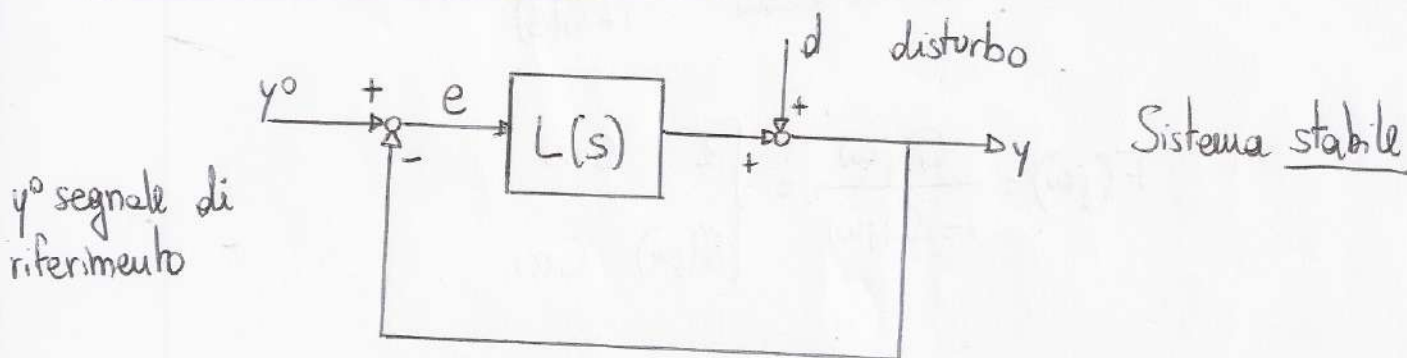
$$d = D \sin \omega t$$

$$Y \ll D \text{ se } \omega < \omega_c \quad [\text{disturbo in banda attenuato}]$$

$$y = Y \sin(\omega t + \varphi)$$

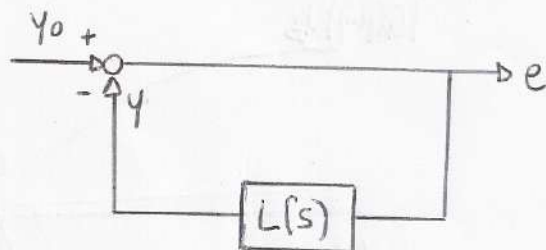
$$Y \approx D \text{ se } \omega > \omega_c \quad [\text{disturbo fuori banda lo troviamo in } y]$$

## → Sistemi di controllo a retroazione



$$e = y - y^0 \text{ pi\`u piccolo possibile! (a regime)}$$

Consideriamo il sistema a regime e con  $d=0$



$$T(s) = \frac{1}{1+L(s)}$$

$$E(s) = T(s) Y^0(s)$$

$$e_{\infty} = \lim_{s \rightarrow 0} s \cdot E(s) = s T(s) Y^0(s)$$

$$\text{Se } y^0(t) = \bar{Y}^0 \text{ sca}(t)$$

$$L(s) \text{ tipo} > \text{ZERO} : e_{\infty} = 0$$

↳ DIFFICILE DA STABILIZZARE

$$\text{Se } y^0(t) = \bar{Y}^0 \text{ ramp}(t)$$

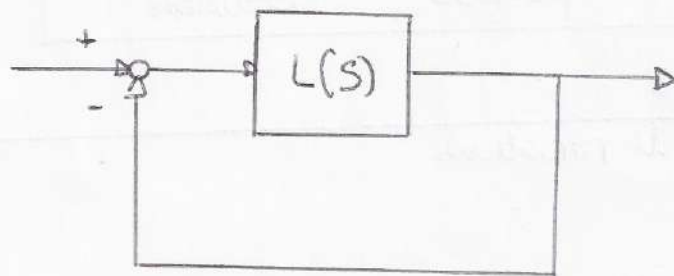
$$L(s) \text{ tipo} > 1 \quad e_{\infty} = 0$$

Pi\`u il segnale \u00e8 veloce pi\`u \u00e8 maggiore il tipo del sistema per avere  $e_{\infty} = 0$

# STABILITÀ SISTEMA RETROAZIONATO \*

Vogliamo caratterizzare  $R(s)$  affinché il sistema retroazionato sia stabile

## Criterio di Nyquist



~~7~~ AUTOREGOLAZIONE NASCOSTA

Sia  $L(s) = R(s)G(s)$

Chiamiamo  $p_D$  il NUMERO DEI POLI di  $L(s)$  nel semipiano destro

Indichiamo con  $N$  il NUMERO DELLE ROTAZIONI compiute dal DIAGRAMMA DI NYQUIST attorno al PUNTO  $-1$  ( $+1$  se la retroazione è positiva)

Il sistema in ANELLO CHIUSO è stabile quando

$$N = p_D$$

## Criterio di Bode

$\left\{ \begin{array}{l} L(s) \text{ 7 poli Re} > 0 \\ \text{7 AUTOREGOLAZIONE NASCOSTA del sistema in ANELLO APERTO} \\ \text{con definite} \end{array} \right.$

Chiamata  $\varphi_c$  la FASE CORRISPONDENTE al punto in cui il diagramma di Bode del modulo TOCCA LO ZERO

$$\varphi_N = 180^\circ - |\varphi_c| - k \tan^{-1} \left( \frac{\omega_c}{\omega_{p/z}} \right)$$

$\omega_{p/z}$  è la  $\omega$  del polo/zero più vicino a  $\omega_c$

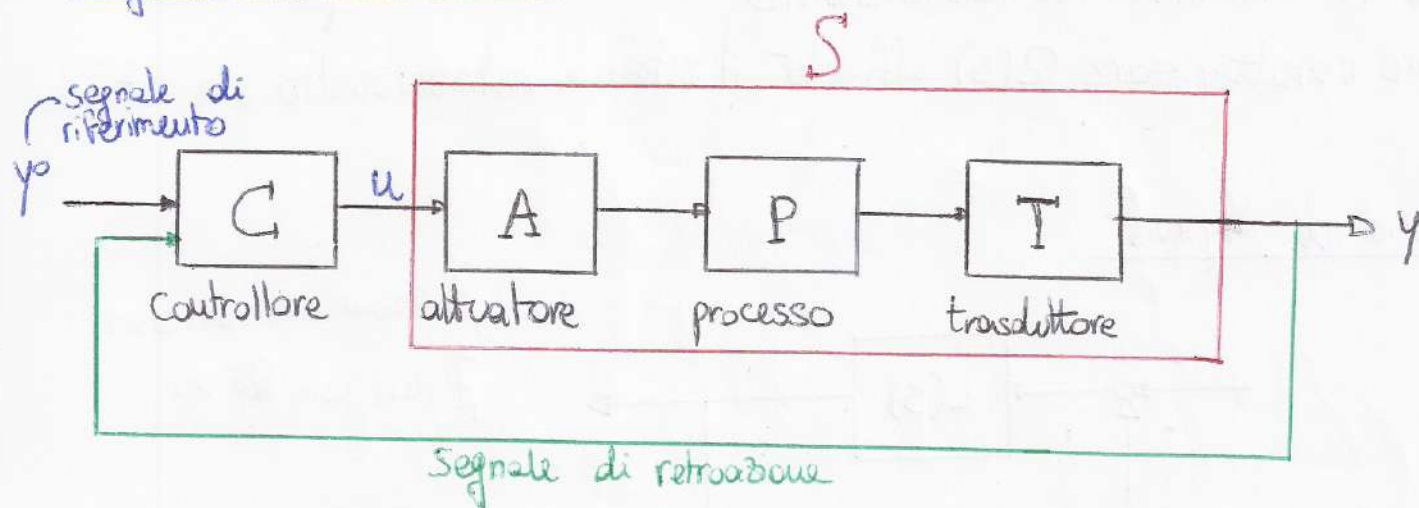
$\varphi_N > 0^\circ \Rightarrow$  Sistema in ANELLO CHIUSO STABILE

$\varphi_N > 75^\circ$  POLI REALI

$\varphi_N < 75^\circ$  POLI COMPLESSI CONIUGATI

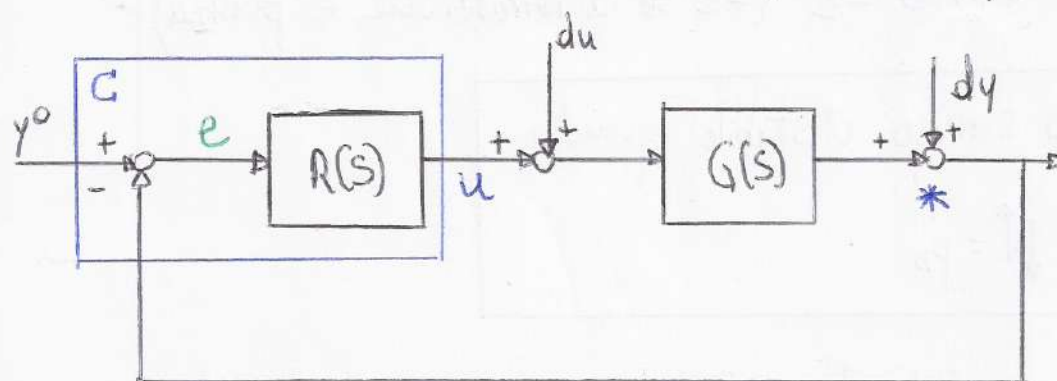
(più piccolo è  $\varphi_N$  più ampie sono le sovraccariche)

## → Progetto di controllore

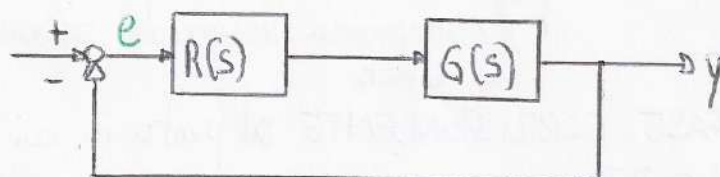


## SPECIFICHE PER IL CONTROLLORE

- STABILITÀ *in contrasto*
- SPOSTAMENTO A REGIME  $e = y^0 - y$  "piccolo"
- "BREVE" DURATA DEI TRANSITORI
- FORMA DEI TRANSITORI "REGOLARE" (senza sovra/sotto elongazioni elevate)



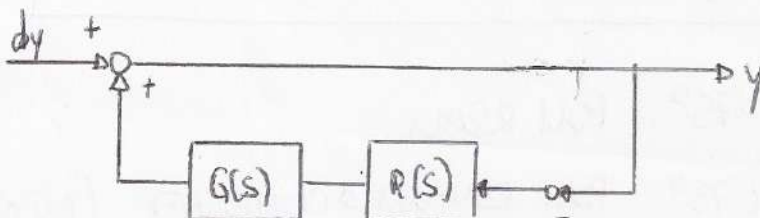
Legame  $y^0 \rightarrow y$



fdT anello:  $L(s) = R(s)G(s)$

fdT  $y^0 \rightarrow y$   $F(s) = \frac{L(s)}{1+L(s)} \rightarrow 1$

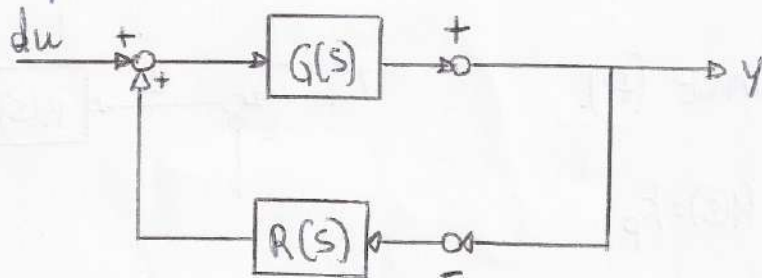
Legame  $dy \rightarrow y$  (legame  $y^0 \rightarrow e$ )



$T(s) = \frac{1}{1+L(s)}$

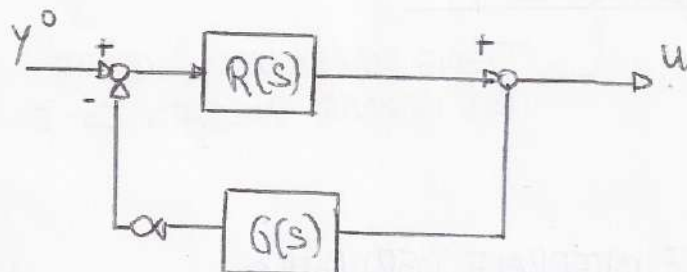


Legame  $du \rightarrow y$



$$W(s) = \frac{\text{fdT andata}}{1 + \text{fdT anello}} = \frac{G(s)}{1 + L(s)}$$

Legame  $y^o \rightarrow u$



$$S(s) = \frac{R(s)}{1 + L(s)}$$

LA BANDA DEI QUATTRO

$$F(s) = \frac{L(s)}{1 + L(s)} \rightarrow 1$$

$$S(s) = \frac{R(s)}{1 + L(s)}$$

$$T(s) = \frac{1}{1 + L(s)} \rightarrow 0$$

$$W(s) = \frac{G(s)}{1 + L(s)}$$

VELOCITÀ DI RISPOSTA

$$F(s) = \frac{L(s)}{1 + L(s)} = \frac{1}{1 + sT_c}$$

La risposta in ANELLO CHIUSO è tanto più rapida quanto più  $T_c$  è piccola, ovvero quanto più ampia è la banda passante ( $y = u$ ).

Più riduciamo la banda passante più il sistema è stabile ma meno rapido.

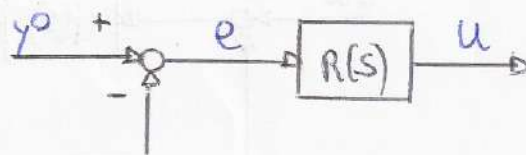


## → Controllori standard

### • CONTROLLORE PROPORZIONALE (P)

$$u(t) = k_p e(t)$$

$$R(s) = k_p$$



### • CONTROLLORE PROPORZIONALE INTEGRALE (PI)

$$u(t) = k_p e(t) + k_I \int_{t_0}^t e(\tau) d\tau$$

VALORE  
ISTANTANEO

TIENE PRESENTE L'ERRORE  
NELL'ISTANTE PASSATO  $t_0 - t$

$$R(s) = k_p + \frac{k_I}{s} = \frac{k_p s + k_I}{s}$$

### • CONTROLLORE PROPORZIONALE, INTEGRALE, DERIVATIVO

$$u(t) = k_p e(t) + k_I \int_{t_0}^t e(\tau) d\tau + k_D \frac{de}{dt}$$

$$R(s) = k_p + \frac{k_I}{s} + k_D s = \frac{k_D s^2 + k_p s + k_I}{s}$$

Non fisicamente possibile

## → Lugo delle radici

Consideriamo un sistema RETROAZIONATO e la sua f.d.T. d'anello

$$L(s) = p \frac{(s-z_1)(s-z_2)\dots}{(s-p_1)(s-p_2)\dots}$$

Consideriamo l'anello chiuso  $F(s) = \frac{L(s)}{1+L(s)} = \frac{\dots}{\boxed{D^*(s) + pN^*(s)}}$  poli in anello chiuso

Definiamo LUOGO DELLE RADICI l'insieme dei punti del piano che soddisfanno la seguente equazione al variare di  $p$ .

$$pN^*(s) + D^*(s) = 0$$

$\begin{cases} p > 0 & \text{LUOGO DIRETTO} \\ p < 0 & \text{LUOGO INVERSO} \end{cases}$

## REGOLE

- 1) Il luogo è simmetrico rispetto all'asse Reale
- 2) Fanno parte del luogo diretto i punti dell'asse Reale a sinistra di un numero dispari di singolarità.  
Fanno parte del luogo inverso i punti restanti
- 3) Il numero di rami del luogo è pari al numero di poli di  $L(s)$
- 4) Dai poli di  $L(s)$  partono i rami del luogo
- 5) Se  $M_{\text{poli}} = N_{\text{zeri}}$  di  $L(s)$  i rami per  $p \rightarrow \infty$  tendono agli zeri di  $L(s)$ , che non cambiano posizione da anello aperto o chiuso.

Se  $M_{\text{poli}} < N_{\text{zeri}}$  vi sono  $N - M$  rami  $\rightarrow \infty$  per  $p \rightarrow \infty$

I rami che tendono a  $\infty$  hanno asintoti che si incontrano in

$$\sigma = \frac{-\sum z_i + \sum p_i}{n-m}$$

Angolo formato:  $\theta_{k+1} = \frac{180^\circ + k360^\circ}{n-m}$   $\theta_1$  per  $k=0$ ,  $\theta_2$  per  $k=1, \dots$



6) I punti di incrocio dei rami sull'asse Reale si possono determinare trovando i MINIMI e i MASSIMI RELATIVI della funzione

$$g(x) = - \frac{D(x)}{N^*(x)}$$

Sia  $\bar{x}$  un MINIMO e  $s = \bar{x}$  è luogo diretto allora i due rami CONVERGONO in  $\bar{x}$   
 Se  $\bar{x}$  è un MASSIMO e  $s = \bar{x}$  è luogo diretto allora i rami, dopo essersi incontrati in  $\bar{x}$ , si separano diventando complessi

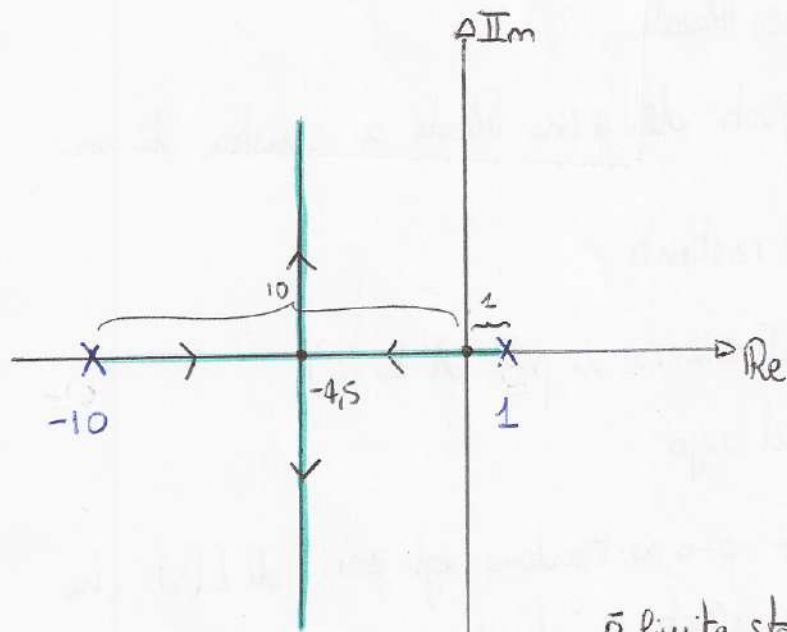
7) Si può PUNTEGGIARE in  $p$  il luogo dopo che è stato tracciato

$$|\bar{p}| = \frac{\text{prodotto distanze punto-poli } L(s)}{\text{prodotto distanze punto-zeri } L(s)}$$

esempio

$$L(s) = p \frac{1}{(s-1)(s+10)}$$

2 POLI REALI } 2 RAMI  $\rightarrow \infty$   
 ≠ ZERI



■ LUOGO

$$\theta_1 = \frac{180^\circ + k360^\circ}{2} = \frac{180^\circ + 0^\circ}{2} = 90^\circ$$

$$\theta_2 = \frac{180^\circ + 360^\circ}{2} = 270^\circ$$

$$g = - \frac{D(x)}{N^*(x)} = - \frac{(x-1)(x+10)}{1}$$

$$\frac{dg}{dx} = -2x - 9 = 0$$

$$x = -4,5 \text{ MASSIMO}$$

$\bar{p}$ , limite stabilità anello chiuso (punto origine)

$$|\bar{p}| = \frac{1 \cdot 10}{1} = 10 \quad p \geq 10 \text{ s. stabile}$$

$p < 10$  instabile

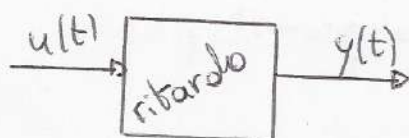
$\bar{p}_2$  limite per poli complessi coniugati  $(-4,5; 0)$   $|\bar{p}_2| = \frac{(10-4,5)(4,5+1)}{1} = 30,25$   $\left( \begin{array}{l} p > 30,25 \text{ f.c.} \\ p < 30,25 \text{ Re} \end{array} \right)$

## → Sistemi con anticipo/ritardo

Con la rete anticipatrice a correggere possiamo ottenere un sistema stabile a partire da uno instabile in anello chiuso.

$\Delta\varphi > 0$  se la rete è anticipatrice

Molte volte, invece, ci sono dei RITARDA dell'attuatore rispetto al controllore



$$y(t) = u(t - \tau)$$

$$U(s) = \mathcal{L}[u(t)]$$

$$Y(s) = \mathcal{L}[y(t)]$$

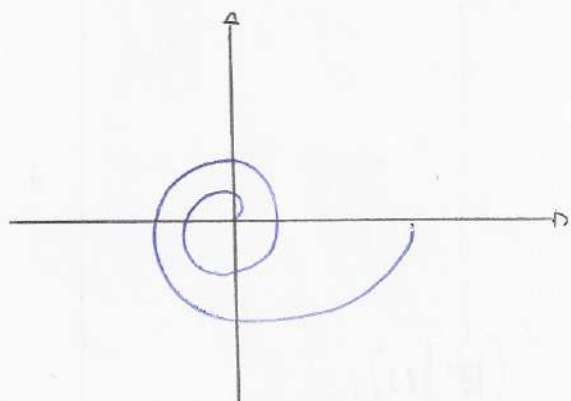
$\tau$  è il RITARDO

$$\mathcal{L}[y(t)] = \int_0^{+\infty} y(t) e^{-st} dt = \int_0^{+\infty} u(t - \tau) e^{-st} dt = \int_{\tau}^{+\infty} u(x) e^{-s(x+\tau)} dx = e^{-s\tau} \int_{\tau}^{+\infty} u(x) e^{-sx} dx$$

$\begin{matrix} x = t - \tau \\ t = x + \tau \\ dx = dt \end{matrix}$

$$Y(s) = e^{-s\tau} U(s)$$

Diagramma di Nyquist d'esempio



Le SPIRALI sono dovute al RITARDO

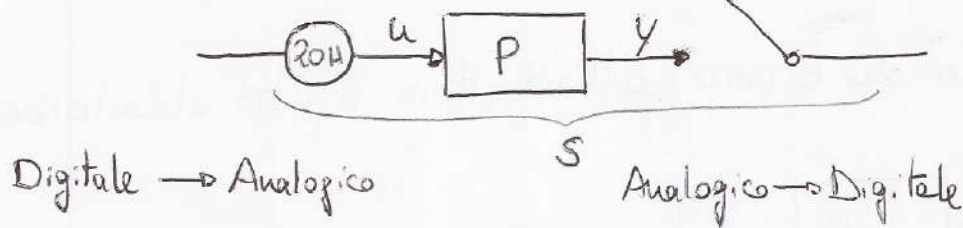
FASE RIDOTTA → ANTICIPO  
FASE AUMENTATA → RITARDO

## → Sistemi a tempo discreto \*

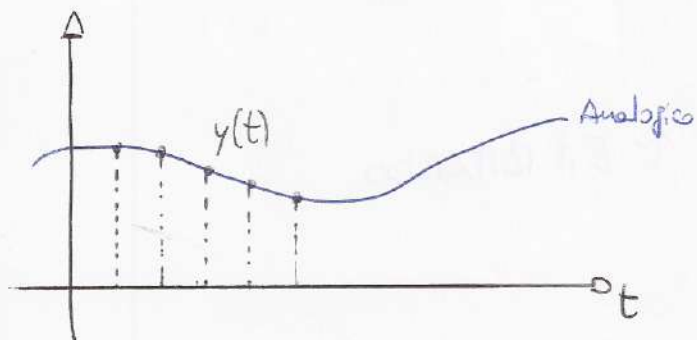
Il passaggio da un sistema a tempo continuo ad uno a tempo discreto, per poter avere quindi un controllo digitale, avviene **CAMPIONANDO** i segnali

Mantenitore di ordine zero

Campionatore



Se  $P$  è STABILE  
 Anche  $S$  è STABILE



$$P: \begin{cases} \dot{x} = Fx + Gu \\ y = Hx + Ku \end{cases}$$

↓

$$f: \begin{cases} x(t+1) = Ax(t) + Bu(t) \\ y(t) = Cx(t) + Du(t) \end{cases}$$

## TRASFORMATA A TEMPO DISCRETO

$$\mathcal{Z}[f(t)] = F(z)$$

$$F(z) = f(0) + f(1)z^{-1} + f(2)z^{-2} + \dots$$

IMPULSO:  $\text{imp}(t) = \begin{cases} 1 & t=0 \\ 0 & t \neq 0 \end{cases} \rightarrow F(z) = 1$

SCALINO:  $\text{sca}(t) = \begin{cases} 1 & t \geq 0 \\ 0 & t < 0 \end{cases} \rightarrow F(z) = \frac{z}{z-1} \quad (|z^{-1}| < 1)$

ESPONENZIALE:  $\text{exp}(t) = \begin{cases} a^t & t \geq 0 \\ 0 & t < 0 \end{cases} \rightarrow F(z) = \frac{z}{z-a}$

RAMPA:  $\text{ramp}(t) = \begin{cases} t & t \geq 0 \\ 0 & t < 0 \end{cases} = t \text{sca}(t) \rightarrow F(z) = \frac{z}{(z-1)^2}$



## OPERATORE $\mathcal{Z}$ (ANTICIPO UNITARIO) \*

$$f(t); \quad g(t) = f(t+1)$$

$$\begin{array}{ccc} \downarrow & & \downarrow \\ F(z) & & G(z) \end{array}$$

$$G(z) = z(F(z) - f(0))$$

Analogamente considerando  $g(t) = f(t+2)$   
 $f(0) = f(1) = 0$

$$G(z) = z^2 F(z)$$

## OPERATORE $\mathcal{Z}'$ (RITARDO UNITARIO)

$$f(t); \quad g(t) = f(t-1)$$

$$G(z) = z^{-1} F(z)$$

## $\mathcal{Z}$ TRASF DI VETTORI

$$f(t) = \begin{bmatrix} f_1(t) \\ \vdots \\ f_n(t) \end{bmatrix} \xrightarrow{\mathcal{Z}_{TRASF}} F(z) = \begin{bmatrix} F_1(z) \\ \vdots \\ F_n(z) \end{bmatrix}$$

## ANTITRASFORMATA: Metodo della lunga divisione

es.

$$Y(z) = \frac{5}{z^3 - 1,3z^2 + 0,3z}$$

$$t=0 \quad y(0)=0$$

$$t=1 \quad y(1)=0$$

$$t=2 \quad y(2)=0$$

$$t=3 \quad y(3)=5$$

$$t=4 \quad y(4)=6,5$$

$$t=5 \quad y(5)=6,95$$

$$t=6 \quad y(6)=7,09$$

$$t=7 \quad y(7)=7,13$$

$$t=8 \quad y(8)=7,14$$

$$\begin{array}{r|l} 5 & z^3 - 1,3z^2 + 0,3z \\ \hline 5 - 6,5z^{-1} + 1,5z^{-2} & 5z^3 + 6,5z^2 \rightarrow \text{RITARDO} \\ \hline \wedge 6,5z^{-1} + 1,5z^{-2} & \uparrow \\ & \text{VALORE} \\ & 6,5z^{-1} - 8,45z^{-2} + 1,95z^{-3} \\ \hline \wedge 6,95z^{-2} - 1,95z^{-3} & \end{array}$$

# FORMULA DI LAGRANGE A T DISCRETO \*

## MOTO LIBERO:

$$u(\cdot) = 0$$

$x(0)$  stato iniziale

$$x_L(t) = A^{t-t_0} x(t_0)$$

## MOTO FORZATO

$$x(0) = 0$$

$$x(1) = Bu(0)$$

$$x(2) = Ax(1) + Bu(1) = Bu(1) + ABu(0)$$

$$x_F(t) = Bu(t-1) + ABu(t-2) + \dots + A^{t-1} Bu(0)$$

## MOTO COMPLETO

$$x(t) = \overbrace{A^t x(0)}^{x_L} + \overbrace{\sum_{k=0}^{t-1} A^k Bu(t-k)}^{x_F}$$

$$y(t) = C[x_L(t) + x_F(t)] + Du(t)$$

## EQUILIBRIO E STABILITÀ

$$\begin{cases} x(t+1) = Ax(t) + Bu(t) \\ y(t) = Cx(t) + Du(t) \end{cases}$$

$$G(z) = C[zI - A]^{-1}B + D$$

$$M = G(z)|_{z=1}$$

$$u(t) = \text{cost} = \bar{u}$$

$$x(t+1) = x(t) = x$$

$$x = Ax + B\bar{u} \quad \bar{x} = (I - A)^{-1}B\bar{u}$$

$$\bar{y} = \underbrace{[C(I - A)^{-1}B + D]}_{\mu} \bar{u}$$

discrepanza  $x_p(t) - x(t) = A^{t-t_0} \delta_{xp}$   
 $x_p(t) \rightarrow x(t)$  se  $A^{t-t_0} \rightarrow 0$  per  $t \rightarrow \infty$

Il sistema è ASINTOTICAMENTE STABILE se  
 $\forall \lambda_i$  AUTOVALORE di  $A : |\lambda_i| < 1$

REGIONE DI STABILITÀ

# → Risposte dei sistemi a tempo discreto \*

## RISPOSTA IMPULSIVA

$$u(t) = \text{imp}(t) = \begin{cases} 1 & t=0 \\ 0 & t \neq 0 \end{cases}$$

$$x(0) = 0$$

$$x(1) = A x(0) + B u(0) = 0 + B \cdot 1 = B \Rightarrow$$

$$\Rightarrow x(2) = A x(1) + B u(1) = AB + 0 = AB \Rightarrow$$

$$x(3) = A x(2) + B u(2) = A^2 B + 0 = A^2 B \Rightarrow$$

$$y(0) = D$$

$$y(1) = CB$$

$$y(2) = CAB$$

$$y(3) = CA^2 B$$

PARA-  
METRI  
DI  
MARKOV

$$Y(z) = G(z) U(z) = G(z) \underset{z^{-1}}{\sim} y(t)$$

esempio  $G(z) = \frac{z}{z-a}$   $U(z) = 1$

$$Y(z) = \frac{z}{z-a} \xrightarrow{\text{L.D.}} \boxed{y(k) = a^k}$$

## RISPOSTA A SCALINO

$$u(t) = \text{sca}(t) = \begin{cases} 1 & t \geq 0 \\ 0 & t < 0 \end{cases}$$

$$x(0) = 0$$

$$G(z) = \frac{z}{z-a}$$

$$U(z) = \frac{z}{z-1}$$

$\Rightarrow$

$$Y(z) = G(z) U(z) = G(z) \frac{z}{z-1} \underset{z^{-1}}{\sim} y(t)$$

$\lim_{t \rightarrow \infty} y(t)$   $\exists$  finito se  $|a| < 1$

$$\bar{y}_{\infty} = \lim_{z \rightarrow 1} \frac{(z-1)}{z} Y(z) = \lim_{z \rightarrow 1} \frac{(z-1)}{z} \frac{z}{z-a} \frac{z}{z-1} = G(1) = \mu$$

## RISPOSTA IN FREQUENZA

$$u(t) = U \sin(\omega t + \alpha)$$

$$Y = G(z) \Big|_{z=e^{j\omega}} U \quad \beta = \alpha + \angle G(z) \Big|_{z=e^{j\omega}}$$

$$\Rightarrow y(t) = Y \sin(\omega t + \beta)$$

